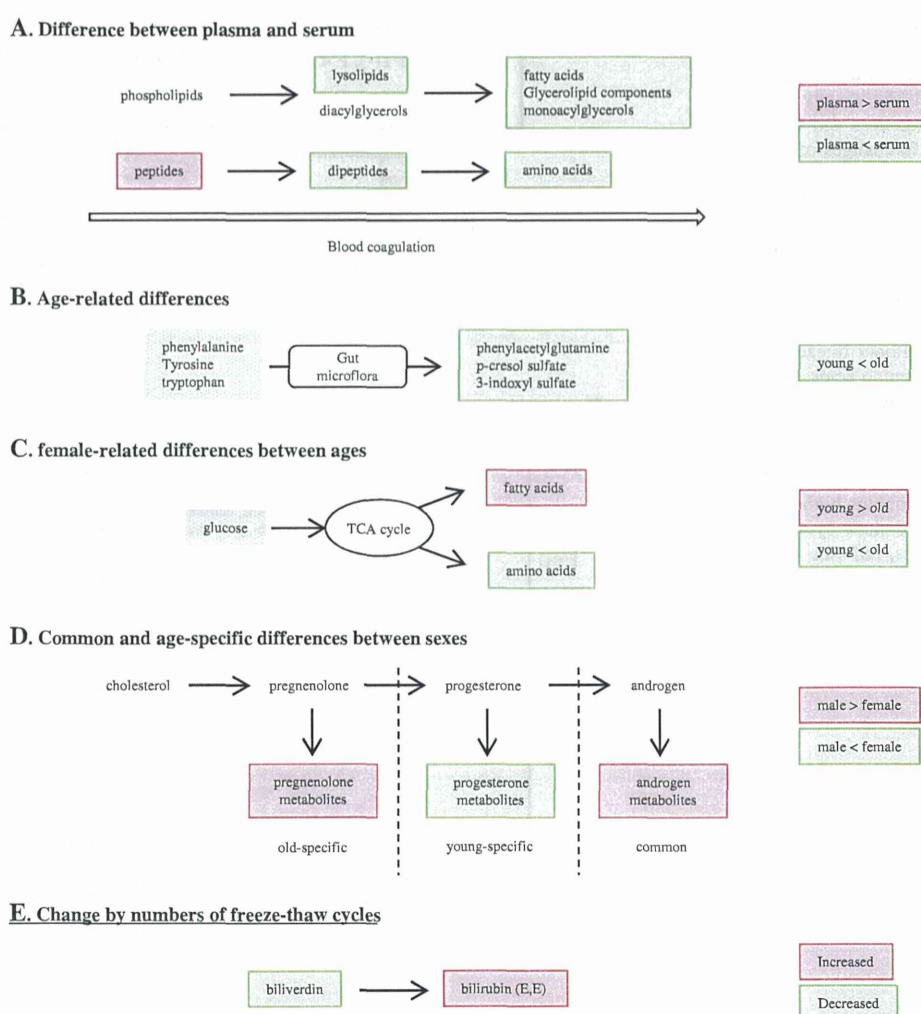


**Fig. 6** Highlighted pathways in this study. Highlighted pathways contain specific metabolites showing differences between the subject groups



As for the changes by freeze–thaw cycles, heme degradation was the only pathway common between plasma and serum (Fig. 6e). Biliverdin and bilirubin were decreased and increased, respectively, by repeated freeze–thaw cycles. While it remains unclear as to whether biliverdin reductase is released into plasma or serum, the enzyme may be activated during freeze–thaw cycles and then catalyze biliverdin to bilirubin. On the other hand, peptides and several types of lipids were increased by more freeze–thaw cycles only in plasma, possibly due to the breakdown of much larger proteins and/or lipids by phospholipases and/or proteases, which may be removed from serum during the coagulation process.

Metabolites whose levels are not highly sensitive to differences in age or gender may have potential as biomarkers. In addition, biomarkers that are easy to detect and show low inter-individual variations might have even greater utility. In this study, we identified a subset of biochemicals sharing the following three characteristics

(Supplemental Fig. 1a): ease of detection (average filled value, more than 80 %), low gender- or age-associated differences (less than 50 % changes and without statistically significant level differences), and low inter-individual variations (RSD, 0.5 or less). Among 297 metabolites detected in this study, 124 passed all three criteria in plasma and/or serum (Supplemental Fig. 1b; Supplemental Table 7). Of these 124 metabolites, 103 were shared by both plasma and serum; therefore, we suggest that these 103 metabolites are well-controlled in healthy adults and may be primary candidates for biomarkers. Alternatively, metabolites whose levels are drastically modulated by diseases or drugs could overcome the limitations of these background variations and serve as biomarkers. In the present study, Caucasians who had an overnight fast were employed as experimental subjects. It has been reported that nutrients and ethnicity also affect the metabolic profiles. For example, it was suggested that fruits and vegetables intake are strongly associated with the levels of

glycerophospholipids and sphingomyelines (Menni et al. 2013). Comparison of northern and southern Chinese populations using an NMR spectroscopy-based metabolome-wide association approach also demonstrated different levels of several amino acids and carbohydrates (Yap et al. 2010). Nevertheless, the differences associated with nutrients and/or ethnicity should also be taken into consideration for the exploration of biomarkers.

## 5 Concluding remarks

The discovery of biomarkers capable of forecasting disease states and efficacy/toxicity of therapeutic drugs is clinically important. While metabolomics has been applied to many research studies to identify such biomarkers, fundamental information regarding the metabolite profiles of different blood matrices and subject backgrounds is still limited. The findings of this study clearly suggest that plasma and serum are both useful matrices for exploring biomarkers among low-molecular-weight biochemicals and that the metabolites were more stable in serum than plasma. In addition, our results also show that several metabolites were scarcely detectable, had large age- and gender-associated differences, and possessed high RSD values, all of which are characteristics that should be taken into consideration when selecting biomarker candidates. Taken together, our present study provides useful fundamental information for exploring and selecting biomarkers in future clinical studies and may also help establish the regulatory standards for these studies.

**Acknowledgments** This work was supported by the Health Labour Sciences Research Grants (Grant number 028) from the Ministry of Health, Labour and Welfare, and by the Advanced Research for Products Mining Program (Grant number 10-45) from the National Institute of Biomedical Innovation of Japan.

## References

- Aoki, J., Taira, A., Takanezawa, Y., et al. (2002). Serum lysophosphatidic acid is produced through diverse phospholipase pathways. *The Journal of Biological Chemistry*, *277*, 48737–48744.
- Bjornerem, A., Straume, B., Midtby, M., et al. (2004). Endogenous sex hormones in relation to age, sex, lifestyle factors, and chronic diseases in a general population: the tromso study. *Journal of Clinical Endocrinology and Metabolism*, *89*, 6039–6047.
- Bourdonck, K. J., Mitchell, M. W., Nemet, L., et al. (2009). Discovery of metabolomics biomarkers for early detection of nephrotoxicity. *Toxicologic Pathology*, *37*, 280–292.
- Burger, H. G., Dudley, E. C., & Hopper, J. L. (1999). Prospectively measured levels of serum follicle-stimulating hormone, estradiol, and the dimeric inhibins during the menopausal transition in a population-based cohort of women. *Journal of Clinical Endocrinology and Metabolism*, *84*, 4025–4030.
- DeHaven, C. D., Evans, A. M., Dai, H., & Lawton, K. A. (2010). Organization of GC/MS and LC/MS metabolomics data into chemical libraries. *Journal of Cheminformatics*, *2*, 9.
- Endo, T., Henmi, H., Goto, T., et al. (1998). Effects of estradiol and an aromatase inhibitor on progesterone production in human cultured luteal cells. *Gynecological Endocrinology*, *12*, 29–34.
- Evans, A. M., DeHaven, C. D., Barrett, T., Mitchell, M., & Milgram, E. (2009). Integrated, nontargeted ultrahigh performance liquid chromatography/electrospray ionization tandem mass spectrometry platform for the identification and relative quantification of the small-molecule complement of biological systems. *Analytical Chemistry*, *81*, 6656–6667.
- Gowda, G. A., Zhang, S., Gu, H., Asiago, V., Shanaiah, N., & Raftery, D. (2008). Metabolomics-based methods for early disease diagnostics. *Expert Review of Molecular Diagnostics*, *8*, 617–633.
- He, Y., Yu, Z., Giegling, I., et al. (2012). Schizophrenia shows a unique metabolomics signature in plasma. *Translational Psychiatry*, *2*, e149.
- Hollywood, K., Brison, D. R., & Goodacre, R. (2006). Metabolomics: Current technologies and future trends. *Proteomics*, *6*, 4716–4723.
- Lawton, K. A., Berger, A., Mitchell, M., et al. (2008). Analysis of the adult human plasma metabolome. *Pharmacogenomics*, *9*, 383–397.
- Liu, L., Aa, J., Wang, G., et al. (2010). Differences in metabolite profile between blood plasma and serum. *Analytical Biochemistry*, *406*, 105–112.
- Lorenzo, M., Roncero, C., & Benito, M. (1986). The role of prolactin and progesterone in the regulation of lipogenesis in maternal and foetal rat liver in vivo and in isolated hepatocytes during the last day of gestation. *Biochemical Journal*, *239*, 135–139.
- Menni, C., Zhai, G., Macgregor, A., et al. (2013). Targeted metabolomics profiles are strongly correlated with nutritional patterns in women. *Metabolomics*, *9*, 506–514.
- Mittelstrass, K., Ried, J. S., Yu, Z., et al. (2011). Discovery of sexual dimorphisms in metabolic and genetic biomarkers. *PLoS ONE*, *7*, e1002215.
- Muller, M., Tonkelaar, I., Thijssen, J. H. H., Grobbee, D. E., & Schouw, Y. T. (2003). Endogenous sex hormones in men aged 40–80 years. *European Journal of Endocrinology*, *149*, 583–589.
- Psychogios, N., Hau, D. D., Peng, J., et al. (2011). The human serum metabolome. *PLoS ONE*, *6*, e16957.
- Smith, E. A., & Macfariene, G. T. (1996). Enumeration of human colonic bacteria producing phenolic and indolic compounds: effects of pH, carbohydrate availability and retention time on dissimilatory aromatic amino acid metabolism. *Journal of Applied Bacteriology*, *81*, 288–302.
- Sowers, M. F., Beebe, J. L., McConnell, D., Randolph, J., & Jannausch, M. (2001). Testosterone concentrations in women aged 25–50 years: associations with lifestyle, body composition, and ovarian status. *American Journal of Epidemiology*, *153*, 256–264.
- Wedge, D. C., Allwood, J. W., Dunn, W., et al. (2011). Is serum or plasma more appropriate for intersubject comparisons in metabolomic studies? An assessment in patients with small-cell lung cancer. *Analytical Chemistry*, *83*, 6689–6697.
- Wishart, D. S. (2007). Current progress in computational metabolomics. *Briefings in Bioinformatics*, *8*, 279–293.
- Yap, I. K., Brown, I. J., Chan, Q., et al. (2010). Metabolome-wide association study identifies multiple biomarkers that discriminate north and south Chinese populations at differing risks of

- cardiovascular disease: INTERMAP study. *Journal of Proteome Research*, 9, 6647–6654.
- Yu, Z., Kastenmüller, G., He, Y., et al. (2011). Differences between human plasma and serum metabolite profiles. *PLoS ONE*, 6, e21230.
- Yu, Z., Zhai, G., Singmann, P., et al. (2012). Human serum metabolic profiles are age dependent. *Aging Cell*, 11, 960–967.
- Zineh, I., & Huang, S. M. (2011). Biomarkers in drug development and regulation: A paradigm for clinical implementation of personalized medicine. *Biomarkers in Medicine*, 5, 705–713.
- Zucker, M. B., & Nachmias, V. T. (1985). Platelet activation. *Arteriosclerosis*, 5, 2–18.

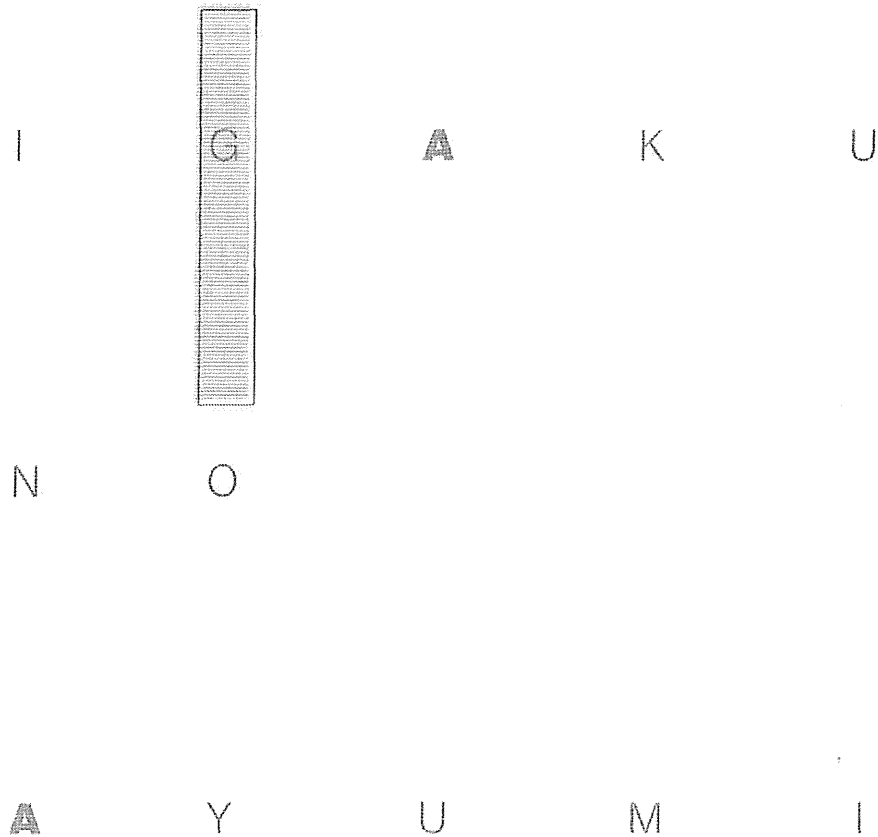
[ISSN 0039-2359 CODEN: IGAYAY]

別冊・医学のあゆみ

# 内科領域の薬剤性障害 —肝・肺を中心に

編集 滝川 一（帝京大学医学部内科主任教授）

久保惠嗣（長野県立病院機構理事長）



医歯薬出版株式会社

## [総論]

**薬物性肝障害の遺伝的素因**

—ゲノムバイオマーカーを用いた発症予測の可能性

Genetic risk factors of drug-induced liver injury



前川京子(写真) 斎藤嘉朗

Keiko MAEKAWA and Yoshiro SAITO

国立医薬品食品衛生研究所医薬安全科学部

◎薬物性肝障害(DILI)はまれな副作用であり、その多くが患者の特異体質によって発症すると考えられているため、発症の予防は困難であるとされてきた。しかし、その障害が重篤であり、肝移植や死亡例が認められること、医薬品の開発段階での中止や、市場からの撤退の主要な原因であることから、近年、欧米を中心に、多施設における発症患者検体の収集、さらにリスク因子の同定のためのコンソーシアムが結成された。その結果、ヒト白血球抗原(HLA)の特定のタイプや薬物動態関連遺伝子の一塩基多型が関連性の高いリスク因子として薬剤別に同定されている。一方で、同定されたゲノムバイオマーカーによる診断では感度、特異度、陰性的中率は比較的高いものの、発症率が低いこともあり陽性的中率は低く、臨床応用には至っていない。本稿では、DILIの遺伝的素因に関して論文報告を中心に紹介しながら、発症機序に関する考察も加えていく。

**Key word :** 遺伝子関連解析、ヒト白血球抗原(HLA)、一塩基多型、ゲノムバイオマーカー

薬物性肝障害(drug-induced liver injury: DILI)は非常に広範な種類の医薬品によって発症する。DILIの発症機序は“中毒性”と“特異体質性”に大別され、さらにタイプBの副作用に該当する“特異体質性”的DILIは“代謝性”と“アレルギー性”に分類される(「サイドメモ1」参照)。病型には“肝細胞障害型”“胆汁うつ滞型”，および両者の中間的特徴を有する“混合型”が存在する。DILI発症の高リスク患者を薬剤投与前に予測して投薬を回避できれば、重篤な症例を未然に防ぐとともに、真に有用な薬剤の市場からの撤退を阻止する可能性が拓け、さらには発症機序の解明を通じて安全な新薬開発に貢献できる。しかし、DILIの発生率は非常に低く、均一の背景因子(病態・人種・年齢・併用薬など)をもつ患者検体を収集し、再現性のある発症リスク因子を同定することはきわめて困難である。

このため、欧米を中心に検体収集・リスク因子同定のためのコンソーシアムが結成され、多施設

での検体収集が進んでいる<sup>1)</sup>。代表的なコンソーシアムとして、DILIGEN<sup>2)</sup>、EUDRAGENE<sup>3)</sup>、Spanish DILI Registry<sup>4)</sup>、DILIN<sup>5)</sup>があげられる(表1)。また、わが国でもDILIの症例収集・検体収集が進行中である<sup>6)</sup>。この結果、薬剤別にDILIの発症・進展に関与する遺伝子多型が網羅的または候補的にスクリーニングされ、新規の知見が集積されつつある。また、各種薬剤の臨床試験に参加した患者から収集されたゲノムDNAを用いたDILI発症のリスク因子の探索も行われ、後述するキンメラガトラン、ラバチニブ、ルミラコキシブで成功を収めた<sup>1)</sup>。

本稿ではDILIの遺伝的素因に関して、論文報告を中心に紹介しながら発症機序に関する考察も加えていく。

### ヒト白血球抗原(HLA)のタイプと DILI発症との関連

近年、“アレルギー性特異体質”的DILIの発症

表 1 薬物性肝障害検体収集ネットワーク

名称	ホームページ	主たる地域(団体)	収集開始年	文献
DILIGEN (Drug-Induced Liver Injury Genetics Network)	<a href="http://www.bsg.org.uk/research/clinical-trials-updates/idosyncratic-drug-induced-liver-injury-study-diligen.html">http://www.bsg.org.uk/research/clinical-trials-updates/idosyncratic-drug-induced-liver-injury-study-diligen.html</a>	イギリス(イギリス胃腸病学会)	2004~	2)
EUDRAGENE (European collaboration to establish a case-control DNA collection for studying the genetic basis of adverse drug reactions)	<a href="https://www.eudragene.org/">https://www.eudragene.org/</a>	ヨーロッパ (12 センター)	2006~	3)
Spanish DILI Registry	<a href="http://www.spanishdili.uma.es/index.php?lang=en">http://www.spanishdili.uma.es/index.php?lang=en</a>	スペイン (57 センター)	1994~	4)
DILIN (Drug-Induced Liver Injury Network)	<a href="https://dilin.dcri.duke.edu/">https://dilin.dcri.duke.edu/</a>	アメリカ (9 センター)	2004~	5)
JDILI (Drug-Induced Liver Injury in Japan)	—	日本 (24 施設)	2009~	6)

に、ヒト白血球抗原(human leukocyte antigen : HLA)の特定のタイプが関連することが多く報告されている(「サイドメモ2」参照)。HLA分子が関与する機序としては以下の2つの説があり、ハプテン仮説では薬物またはその反応性中間代謝物

がハプテンとなり、肝細胞の種々の構成成分と結合し、これが抗原提示細胞に取り込まれ、ヘルパーT細胞に提示されるとともに、細胞障害性T細胞が活性化する。一方、p-iコンセプト(pharmacological interaction with immune receptors concept)では薬剤が共有結合を介さずに直接抗原

サイド  
メモ  
1

## 医薬品による副作用

医薬品はその特性上、副作用の発生を完全に回避することは難しい。ほとんどの有害事象は併用薬との相互作用や過量服用によって薬理作用の延長上で発症するか(タイプA副作用)、または薬理作用とは無縁であっても薬物の活性からその発生を予測できる(タイプC副作用)。しかしながらには、発生頻度は非常に低いが、薬物の意図した標的とはまったく別の臓器で、薬理作用からは類推できない重篤な副作用が発生することがあり、これはタイプBの副作用と分類される。タイプAおよびCの副作用は前臨床試験あるいは治験の段階から発生が予測でき、用量依存性であることから、投与量の調整、治療薬モニタリングによる血中濃度の調整などにより、患者個人におけるリスクとベネフィットを考慮しながら投薬が可能である。一方、タイプBの副作用は患者の特異体质によって発症すると考えられており、発生頻度が低いことから、市販後に多くの患者に投与されてからはじめて明らかになる場合が多く、これまで発症の予防は不可能であるとされてきた。

サイド  
メモ  
2

## ヒト白血球抗原(HLA)

ヒト白血球抗原(human leukocyte antigen : HLA)は白血球の血液型で、自己の生体内分子と、非自己(他人、動物、細菌やウイルスなど)由来の分子とを見分けて、非自己由来の分子を免疫学的に排除する反応の中心的な役割を担っている。大きくクラスI分子とクラスII分子に分類され、クラスI分子は全身の細胞に発現し、細胞質でプロテアソームによって產生されたペプチド断片を CD8<sup>+</sup>T細胞(細胞傷害性T細胞)に提示する。一方、クラスII分子は抗原提示細胞である樹状細胞、B細胞、マクロファージに発現しており、エンドサイトーシスによって取り込まれた外来性蛋白質由来のペプチド断片を CD4<sup>+</sup>T細胞(ヘルパーT細胞)に提示する。古典的クラスI分子には、HLA-A、-B、-Cが、クラスII分子には HLA-DR、HLA-DQ、HLA-DPが存在する。抗原ペプチドが結合する各HLA分子のポケット部分には、遺伝子多型が非常に多く存在して個人差が大きく、さらに、この多型性の分布には人種・民族間差が認められる。

表 2 薬物性肝障害の発症と関連するHLAタイプ<sup>a</sup>

原因医薬品	HLA型/ ハプロタイプ	病型	人種 (国民)	ケース群 (保有者数/ 解析数)	コントロール群 (保有者数/ 解析数)	オッズ 比	文献
フルクロキサシリン	B*57:01	おもに胆汁うっ滞型	白人	43/51	4/64	80.6	2)
	DRB1*15:01- DRB5*01:01- DQB1*06:02	おもに胆汁うっ滞型・ 混合型	ベルギー 人	20/35	7/60 <sup>#1</sup>	10.1	12)
アモキシシリントラブ ラン酸	DRB1*15:01	おもに胆汁うっ滞型・ 混合型	スコット ランド人	14/20	27/134 <sup>#1</sup>	9.3	13)
	DRB1*15:01	おもに胆汁うっ滞型・ 混合型	イギリス 人	32/61	57/191 <sup>#1</sup>	2.6	14)
	DQB1*06:02	すべての病型	白人	ND/177 <sup>#2</sup>	ND/219 <sup>#2</sup>	4.2	15)
	A*02:01	すべての病型	白人	ND/177 <sup>#2</sup>	ND/219 <sup>#2</sup>	2.2	15)
キシメラガトラン	DRB1*07:01 (DQA1*02)	おもに肝細胞障害型	白人	35/74	22/130	4.4	17)
ラバチニブ	DQA1*02:01	おもに肝細胞障害型	おもに 白人	14/35 17/24	58/283 33/155	2.6 9.0	19)
チクロビジン	A*33:03	胆汁うっ滞型	日本人	12/14	12/85	36.5	20)
ルミラコキシブ	DRB1*15:01	おもに肝細胞障害型	おもに 白人	88/137	111/577	7.5	
	DQB1*06:02			85/137	111/577	6.9	
	DRB5*01:01			88/137	115/577	7.2	
	DQA1*01:02			101/137	178/577	6.3	
イソニアジド/ピラジナ ミド/リファンビシン	DQB1*02:01	ALT/AST の上界, あ るいは総ビリルビン 値の上界	インド人	25/47	84/256	2.2	
イソニアジド/ピラジナ ミド/リファンビシン	DRB1*07:01- DQA1*02:01- DQB1*02:01			15/88 <sup>#3</sup>	38/458 <sup>#3</sup>	2.3	25)
イソニアジド/ピラジナ ミド/リファンビシン	DQA1*01:02			3/47	68/251	0.2	

<sup>#1</sup>: コントロールは健常人(無印は医薬品投与耐性患者), <sup>#2</sup>ND: 人数に関する詳細は不明, <sup>#3</sup>: 保有者数頻度ではなくハプロタイプ頻度。

ALT: アラニンアミノトランスフェラーゼ, AST: アスパラギン酸アミノトランスフェラーゼ。

提示部位に作用し、これをT細胞が認識して活性化される機序が提唱されている<sup>7)</sup>。

### 1. フルクロキサシリン

抗腫瘍薬フルクロキサシリンは日本では未発売であるが、ヨーロッパを中心に、ブドウ球菌感染症の治療に投与されており、とくに、女性および高齢者において胆汁うっ滞型のDILIの発症が多数報告されている。イギリスにおいて10万人の新規使用者当り8.5人がフルクロキサシリン治療開始1~45日目以内にDILIを発症する推定されている<sup>8)</sup>。北ヨーロッパ由来の白人を対象としてフルクロキサシリンによるDILI発症患者と本剤服用の耐性患者との関連解析が行われ、HLA-B\*57:

01が発症のリスク因子であることが示された(表2)。なお、23名の別集団の発症患者を用いた再試験でも強い関連が確認されている<sup>2)</sup>。しかし、HLA-B\*57:01の保有者500人~1,000人に1人が実際にDILIを発症するとされており、バイオマーカーとしての陽性的中率が低く、HLA-B\*57:01を用いて投与前事前診断を行う意義は確立されていない。一方、HLA-B\*57:01は日本人ではほとんど検出されないアレルである(アレル頻度0.01%)。なお *in vitro* 試験により、フルクロキサシリンはp-iコンセプトに従い、HLA-B\*57:01特異的にCD8<sup>+</sup>T細胞を活性化することが証明された<sup>9)</sup>。

表3 薬物性肝障害の発症と関連する遺伝子多型

原因医薬品	遺伝子・アレル	病型	人種(国民)	ケース群 (保有者数/ 解析数)	コントローラー群 (保有者数/ 解析数)	オッズ比	文献
フルクロキサリシン	PXR -25385C/T (rs3814055)	おもに胆汁うつ滞型	白人	29/51 <sup>#1</sup>	18/64 <sup>#1</sup>	3.4	10)
アモキシシリン/クラブラン酸	PTPN22 · rs2476601C/T	すべての病型	白人	ND/201 <sup>#2</sup>	ND/532 <sup>#23</sup>	2.1	15)
イソニアジド/リファンビシン	NAT2 · *5, *6, *7	ALT/ASTの上昇	日本人	13/14 <sup>#4</sup>	36/63 <sup>#4</sup>	9.8	24)
イソニアジド/ピラジナミド/リファンビシン/エタンブトール	TNF- $\alpha$ · -308G/A	ALT/ASTの上昇	韓国人	20/77	35/229	1.9	26)
ジクロフェナク	UGT2B7 · -161C/T and 801C/T(*2)	すべての病型	白人 (北ヨーロッパ)	23/24	35/48	8.5	27)
ジクロフェナク	ABCC2 · -24C/T	すべての病型	白人 (北ヨーロッパ)	17/24	15/46	5.0	27)
ジクロフェナク	IL-10 · -627C/A	すべての病型	白人	14/24	16/48	2.8	28)
ジクロフェナク	IL-4 · -590C/T	すべての病型	白人	8/24	51/321 <sup>#3</sup>	2.6	28)
トログリタゾン	GSTM1 および GSTT1 両欠損	ALT/ASTの上昇	日本人	10/25	13/85	3.7	29)
バゾバニップ	UGT1A1 · *28	高ビリルビン血症	白人	18/38 <sup>#5</sup>	ND/198 <sup>#2</sup>	13.1	30)

<sup>#1</sup>: recessive model による CC 遺伝子型の保有者数, <sup>#2</sup>: ND : 人数に関する詳細は不明, <sup>#3</sup> : コントロールは健常人(無印は医薬品投与耐性患者), <sup>#4</sup> : 前向き収集症例, <sup>#5</sup> : recessive model による \*28/\*28 遺伝子型の保有者数.

ALT : アラニンアミノトランスフェラーゼ, AST : アスパラギン酸アミノトランスフェラーゼ.

さらに、フルクロキサリシンは pregnane X receptor(PXR)のアゴニストであること、さらに PXR のプロモーター領域に存在する多型(rs3814055; -25385C/T)が、フルクロキサリシン誘発性の DILI の発症と有意に関連があることが示された(表3)。HLA-B\*57:01 保因者で、かつ rs3814055 が CC 遺伝子型である場合、DILI 発症のリスクが増加し、150 人に 1 人が DILI を発症するとされている<sup>10)</sup>。

## 2. アモキシシリン・クラブラン酸

アモキシシリン・クラブラン酸はペニシリン系抗生物質アモキシシリンに、β-ラクタマーゼ阻害剤のクラブラン酸を配合し、アモキシシリンの抗菌力、抗菌スペクトルを改善した経口用抗生素であり、世界中で広く処方されている。クラブラン酸が本合剤の被疑薬と考えられており、欧米では本合剤による、主として胆汁うつ滞型の DILI はつねに上位にあり、10,000 人の処方者当り 1 人が発症するとされているが、死亡に至る重篤な症

例は少ない<sup>11)</sup>。ベルギーにおける本合剤による黄疸を伴った DILI に関する研究では、HLA クラス II 分子のハプロタイプ(複数の遺伝子多型の組合せ)のうち、DRB1\*15:01-DRB5\*01:01-DQB1\*06:02 の DILI 患者における頻度が、健常人における頻度より有意に高いことが明らかとなつた(表2)<sup>12)</sup>。なお、このハプロタイプの日本人における頻度は 5% 程度である。同様の結果がスコットランド人およびイギリス人を対象とした研究からも報告されている(表2)<sup>13,14)</sup>。さらに、白人患者を用いた解析において、本合剤による DILI が上記のハプロタイプを構成するアレルのうち、DQB1\*06:02 とともに強い相関を示すこと、加えてクラス I 分子である HLA-A\*02:01 も本合剤による DILI のリスク因子であることが確認された(表2)<sup>15)</sup>。また、ゲノム網羅的解析において自己免疫疾患関連遺伝子を解析した場合、protein tyrosine phosphatase, non-receptor type 22(PTPN22)遺伝子上に存在する rs2476601

が本合剤による DILI の発症と関連があることが報告されている(表 3)<sup>15)</sup>.

### 3. キシメラガトラン

経口直接トロンピン阻害薬のキシメラガトランはワーファリンに代わる新しい抗凝固剤として開発されたが、DILI の副作用のため、2006 年に開発中止となった。脳卒中や血栓・塞栓予防を目的とした 35 日以上の長期使用の臨床試験において、アラニンアミノトランスフェラーゼ(ALT)が正常値上限の 3 倍以上に一過性に上昇する、主として肝細胞障害型の症例が 6~13% (平均 7.9%) で認められた<sup>16)</sup>。

本剤による DILI の発症に関与する遺伝的因子を見出すため、後ろ向きの薬理遺伝学的患者対照研究が開始され、白人の発症患者と耐性患者による HLA アレルの解析により *DRB1\*07:01*, および本 *DRB1* アレルと同じハプロタイプ上に存在する *DQA1\*02* が本剤による DILI の発症のリスク因子であることが示され、別集団の発症患者を用いた再試験においても関連が確認された(表 2)<sup>17)</sup>。なお、*DRB1\*07:01* の日本人におけるアレル頻度は 0.3% 程度である。なお *in vitro* 試験の結果、キシメラガトランおよびその中間代謝産物であるメラガトランエチルは高濃度で、可溶性 *DRB1\*07:01* とその抗原ペプチドとの結合を阻害するが、他の主要な *DRB1* アレルと抗原ペプチドとの結合には影響を与えないことが報告されている<sup>17)</sup>。

### 4. ラパチニブ

ラパチニブは上皮増殖因子受容体(epidermal growth factor receptor : EGFR) および human EGFR-related 2(HER2) 阻害薬であり、わが国では 2009 年に、「HER2 過剰発現が確認された手術不能または再発乳癌患者に対するカペシタビンとの併用療法」を効能・効果として承認された、低分子の経口投与可能な分子標的治療薬である。転移性癌に対する複数の臨床試験のメタ解析結果において、National Cancer Institute Common Terminology Criteria for Adverse Events v4.0(NCI CTCAE v4.0)に基づくグレード 3 の ALT 上昇と高ビリルビン血症を伴う DILI が、それぞれ 1.6% および 0.2% と報告されている<sup>18)</sup>。臨床試験に参

加した患者のうち、ALT が一度以上正常上限の 3 倍以上に上昇したケース群と、13 週間以上の投与期間中 ALT が正常範囲であったコントロール群に対し網羅的遺伝子多型解析、候補遺伝子多型解析、HLA 解析が行われた<sup>19)</sup>。その結果、*DQA1\*02:01* が有意に DILI の発症と関連し、この結果は別の臨床試験由来のケース群とコントロール群を用いた再試験においても確認された(表 2)。*DQA1\*02:01* をバイオマーカーとして用いて、本剤により ALT が正常上限の 3 倍以上に上昇する患者を予測する場合の陽性的中率は 17%，陰性的中率は 97% であり、母集団におけるアレル頻度が高いために多くの偽陽性を生じることになる。ちなみに本アレル頻度は白人で 25% であるのに対し、日本人では 1% である。

### 5. チクロピジン

チクロピジンは抗血小板薬であり、胆汁うつ滯型 DILI を誘引することが知られている。日本人を対象に解析を行った結果、*HLA-A\*33:03* と胆汁うつ滯型の DILI 発症との強い関連が認められた(表 2)<sup>20)</sup>。さらに、*HLA-A\*33:03* の保因者であり、かつチクロピジンの代謝活性化に関与する CYP2B6 のハプロタイプのうち、酵素発現の増大をもたらす *CYP2B6\*1H* と *CYP2B6\*1J* を有する患者では、本 CYP2B6 のハプロタイプを有しない *HLA-A\*33:03* の保因者と比較して DILI の発症のリスクが増大することが報告されている<sup>21)</sup>。チクロピジン誘因性 DILI の発症頻度は白人よりも日本人において高いことが知られているが、その理由のひとつの可能性として、日本人母集団における *HLA-A\*33:03* のアレル頻度(約 7%)が白人(約 0.7%)より高いことがあげられる。

### 6. ルミラコキシブ

選択的cox-2 阻害剤・非ステロイド性消炎鎮痛薬ルミラコキシブは、重篤な DILI(服用患者 10 万人当たり 6.39 人)のため、2007 年に市場から撤退した(日本では未承認)。白人を主体とした本剤による DILI 発症患者と耐性患者を用いた解析において、DILI 発症と *DRB1\*15:01* との間に強い関連性が認められ、このアレルはハプロタイプ *HLA-DRB1\*15:01-DQB1\*06:02-DRB5\*01:01-DQA1\*01:02* を構成していた(表 2)<sup>22)</sup>。

一方, *DRB1\*15:01* の陰性的中率は 98.9% ともっとも高いが, 母集団におけるアレル頻度が高いため, 陽性的中率は 8.0% と低く, 発症には他の要因も関連していると思われる.

### ◆ 薬物動態関連分子の遺伝子多型と DILI 発症との関連

薬物代謝酵素およびトランスポーターなどの薬物動態関連分子をコードする遺伝子の多型は, 薬物の吸収・分布・代謝・排泄の各過程に影響を及ぼすことにより薬物血中濃度の過度の低下や上昇を引き起こし, 薬効および副作用発現の個体差さらに人種差発現の原因となりうることが知られている. おもに “代謝性特異体質” の DILI を引き起こす薬剤に関して, その薬物動態に関与する酵素を中心に, 遺伝子多型と DILI 発症との関連が候補遺伝子多型解析により見出されている.

#### 1. 抗結核薬(イソニアジド, ピラジナミド, リファンピシン)

結核の初回治療にはイソニアジド(INH), リファンピシン(RFP), およびピラジナミド(PZA) 3剤に, ストレプトマイシン(SM), エタノブトル(EB) のいずれか 1 剤を加えた 4 剤併用を初期 2 カ月間行う療法が最強かつ最短の治療法として, すでに世界中に広く普及している. しかし, INH, RFP, PZA はいずれも DILI を引き起こす可能性があり, 肝不全に至る重篤な症例が報告されている. 日本結核病学会が 1994~2003 年の 10 年間で行った調査によると, 結核化学療法時の重篤な DILI は 10 万対 100~500 の頻度で発生していると推定された. 発症は治療開始 2 カ月以内に集中し, 合併症があると重症化しやすく, 肝細胞障害型が大半であり血清ビリルビン値上昇は重篤化の兆候であることが示されている<sup>23)</sup>.

イソニアジドは肝で *N*-アセチルトランスフェラーゼ(NAT2) による代謝を受けて, 1-アセチル-2-イソニコチルヒドラジン(アセチルイソニアジド)となり, さらに加水分解を受けてイソニコチニ酸とアセチルヒドラジンとなる. イソニコチニ酸はグリシン抱合体として尿中に排泄される. 一方, アセチルヒドラジンは NAT2 より肝毒性の低い 1,2-ジアセチルヒドラジンに代謝され,

尿中に排泄されるが, 一部は CYP2E1 によりさらに肝毒性の強い代謝物に変換される(図 1). NAT2 にはその活性に影響を与える遺伝子多型が存在し, 野生型である *NAT2\*4* をホモ接合で有するヒトは NAT2 の活性が高い rapid acetylator (RA) である. 日本人で認められる変異型, *NAT2\*5*(341 T>C), *NAT2\*6*(590 G>A), *NAT2\*7*(857 G>A) のホモ接合体あるいは複合ヘテロ接合体は NAT2 の活性が低い slow acetylator (SA) であり, 野生型と変異型のヘテロ接合体は intermediate acetylator (IA) である. 日本人の結核患者で, INH および RFP の 2 剤に SM または EB の投薬を受けた 77 名に対し, 肝機能障害の頻度と NAT2 の遺伝子多型との関係を調べた前向き研究において, SA では RA と比較して, DILI 発症の相対リスク比が 28 倍であることが明らかとなつた(表 3)<sup>24)</sup>. これは NAT2 の活性が低い人では NAT2 によるイソニアジドの代謝が遅く, 別の代謝経路によりイソニアジドが加水分解を受けて肝毒性を有するヒドラジンを産生するためと考えられている(図 1). ちなみに, 日本人では NAT2 の SA の頻度は約 10% であるのに対し白人では 50% である.

さらに, インド人の結核患者 346 名を対象とした研究において, DILI の発症したケース群は, 非発症のコントロール群と比較して有意に *HLA-DQB1\*02:01* の保因者が多く, *DQA1\*01:02* の保因者が少ないことが明らかになり, 多変量解析において高齢, 結核の重篤度, 治療前の低アルブミン血症とともに, 上記の 2 種の HLA アレルがリスク因子であることが示されている<sup>25)</sup>. さらに, ハプロタイプ解析の結果では *DRB1\*07:01-DQA1\*02:01-DQB1\*02:01* が有意に抗結核薬による DILI の発症と相關することが明らかになつたが(表 2), このハプロタイプが前述のキシメラガトランによる DILI のリスク因子と重複していることは興味深い. また, 韓国人の結核患者を対象とした研究において, 肿瘍壊死因子  $\alpha$  (tumor necrosis factor- $\alpha$  : TNF- $\alpha$ ) 遺伝子のプロモーター部位に存在する多型, -308 G>A が DILI の発生に関連することが報告されており, 抗結核薬による DILI に対する免疫系の関与も示唆

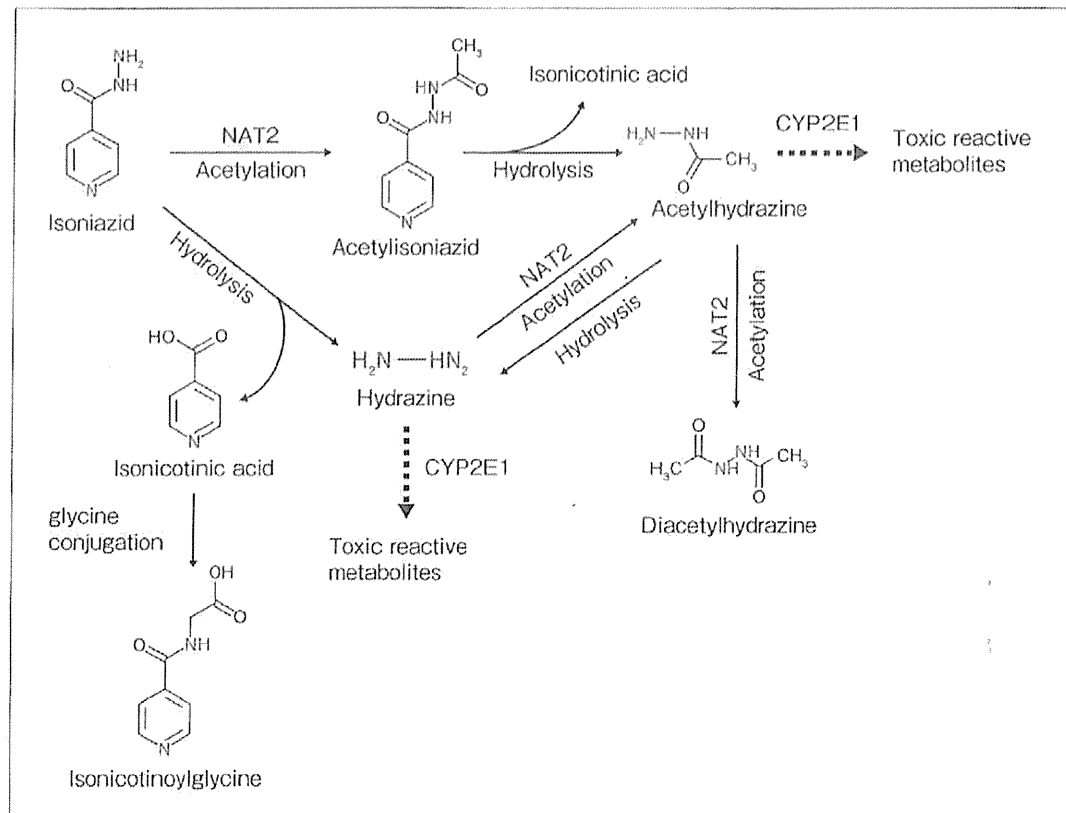


図 1 イソニアジドの代謝

される(表3)<sup>26)</sup>.

## 2. ジクロフェナク

本剤は非ステロイド系抗炎症剤として広く用いられているが、代謝性特異体質によりDILIを惹起すると考えられている。イギリスにおける調査ではジクロフェナクによるDILIの発症率は10万人の服用者当り6人と推定されている<sup>11)</sup>。ジクロフェナクはおもにCYP2C9により4'-水酸化体に代謝されるが、一部はUDP-グルクロン酸転移酵素(UDP-glucuronosyltransferase: UGT)のUGT2B7によりグルクロン酸抱合を受け、活性代謝物のアシルグルクロナイトを生成する。イギリスにおける北ヨーロッパ由来の患者を用いた研究において、ジクロフェナクによるDILIが認められたケース群では、耐性患者からなるコントロール群と比較して有意にUGT2B7\*2(-161C/Tおよび801C/T)の保因者の割合が高いことが示された(表3)<sup>27)</sup>。これは、本アレルが野生型アレルと比較して酵素発現またはグルクロン酸抱合活性が高く、生成されたアシルグルクロナイトが生体内蛋白と反応し、肝毒性や抗原性を獲得した可能

性が指摘されている。さらに、同一の検体を用いた比較において、肝細胞胆管側膜上に発現されるmultidrug resistance associated protein 2 (MRP2/ABCC2)のプロモーター領域の遺伝子多型-24C/TがDILIの発症に有意に相關したが(表3)，本遺伝子多型によりトランスポーターの発現が低下し、アシルグルクロナイトの胆汁排泄が減弱したためと考えられている。また同様に、白人におけるジクロフェナクによるDILIの発症に、IL-10およびIL-4の発現に影響を与えるプロモーター領域の遺伝子多型が相關しているという報告があり(表3)，免疫系の関与も示唆される<sup>28)</sup>。

## 3. トログリタゾン

トログリタゾンはDILIにより市場撤退した経口糖尿病薬である。日本人について遺伝子解析が行われた結果、グルタチオンS-転移酵素(glutathione S-transferase: GST)のGSTM1およびGSTT1両遺伝子の欠損がDILIの発症と有意に関連(表3)していた<sup>29)</sup>。両遺伝子の欠損者は、グルタチオン抱合による本剤の反応性代謝物の解毒代謝が進行せず、代謝物が細胞内蛋白質に共有結合

することにより細胞障害が惹起されたと考えられる。グルタチオン日本人におけるGSTM1/T1欠損型の頻度は約25%である。

#### 4. パゾパニブ

パゾパニブはマルチキナーゼ阻害薬であり、わが国では2012年に悪性軟部腫瘍の効能・効果で承認された。アメリカにおける転移性腎細胞癌の白人患者を対象にしたフェーズIIのデータの解析結果から、本剤による高ビリルビン血症がUGT1A1遺伝子のTATA boxの存在する遺伝子多型UGT1A1\*28(TAの繰返しが野生型は6回であるのに対し、\*28では7回の繰返し)と有意に相関した(表3)<sup>30)</sup>。ビリルビンはUGT1A1により代謝されるが、パゾパニブはUGT1A1の強力な阻害剤であることに加え、UGT1A1の発現量の低下を引き起こす\*28多型の存在により高ビリルビン血症が引き起こされたと推定される。本症例はALTの上昇を伴わない症例でありDILIには該当しないが、他の原因でALTが上昇した際にはDILIに進展する可能があるので注意を要する。

#### おわりに

DILI発症の回避をめざして、世界的に患者の遺伝的素因の探索が行われた結果、さきに述べたフルクロキサシリンによるDILIの発症に相關するHLA-B\*57:01に代表される関連性の高いリスク因子が薬剤別に同定されてきた。一方で、これらのゲノムバイオマーカーによる診断では感度、特異度、陰性的中率は比較的高いものの、発症率が低いこともあり陽性的中率は低く、臨床応用には至っていない。陽性的中率を上げるために、数種のバイオマーカーを組み合わせて用いることや、薬剤に依存しない普遍的なリスク因子の同定が必要と考えられる。また、ゲノムのみならず、血液や尿中に検出される蛋白質や体内代謝物などをDILI発症の診断バイオマーカーとして用いるための研究も進められている<sup>31,32)</sup>。これらの研究がさらに進展し、DILI発症の高リスク患者を薬剤投与前に予測できるバイオマーカーが臨床応用されることを期待したい。

#### 文献

- 1) Fontana, R. J.: *Drug-induced Liver Disease*, 3rd ed (ed. by Kaplowitz, N. and DeLeve, L. D.). Academic Press, New York, 2013, pp.713-723.
- 2) Daly, A. K. et al.: *Nat. Genet.*, **41**: 816-819, 2009.
- 3) Molokhia, M. and McKeigue, P.: *Pharmacogenomics*, **7**: 633-638, 2006.
- 4) Andrade, R. J. et al.: *Gastroenterology*, **129**: 512-521, 2005.
- 5) Fontana, R. J. et al.: *Drug Saf.*, **32**: 55-68, 2009.
- 6) Takikawa, H. et al.: *Hepatol. Res.*, **39**: 427-31, 2009.
- 7) Pichler, W. J.: *Curr. Opin. Allergy Clin. Immunol.*, **2**: 301-305, 2002.
- 8) Russmann, S. et al.: *Br. J. Clin. Pharmacol.*, **60**: 76-82, 2005.
- 9) Wuillemin, N. et al.: *J. Immunol.*, **190**: 4956-4964, 2013.
- 10) Andrews, E. et al.: *Hepatology*, **51**: 1656-1664, 2010.
- 11) de Abajo, F. J. et al.: *Br. J. Clin. Pharmacol.*, **58**: 71-80, 2004.
- 12) Hautekeete, M. L. et al.: *Gastroenterology*, **117**: 1181-1186, 1999.
- 13) O'Donohue, J. et al.: *Gut*, **47**: 717-720, 2000.
- 14) Donaldson, P. T. et al.: *J. Hepatol.*, **53**: 1049-1053, 2010.
- 15) Lucena, M. I. et al.: *Gastroenterology*, **141**: 338-347, 2011.
- 16) Keisu, M. and Andersson, T. B.: *Handb. Exp. Pharmacol.*, **196**: 407-418, 2010.
- 17) Kindmark, A. et al.: *Pharmacogenomics J.*, **8**: 186-195, 2008.
- 18) Moy, B. et al.: *J. Clin. Oncol.*, **27**: 1043, 2009. (abstract)
- 19) Spraggs, C. F. et al.: *J. Clin. Oncol.*, **29**: 667-673, 2011.
- 20) Hirata, K. et al.: *Pharmacogenomics J.*, **8**: 29-33, 2008.
- 21) Ariyoshi, N. et al.: *Drug Metab. Pharmacokinet.*, **25**: 298-306, 2010.
- 22) Singer, J. B. et al.: *Nat. Genet.*, **42**: 711-714, 2010.
- 23) Shigeto, E.: *Kekkaku*, **82**: 467-473, 2007.
- 24) Ohno, M. et al.: *Int. J. Tuberc. Lung Dis.*, **4**: 256-261, 2000.
- 25) Sharma, S. K. et al.: *Am. J. Respir. Crit. Care Med.*, **166**: 916-919, 2002.
- 26) Kim, S. H. et al.: *Liver Int.*, **32**: 809-814, 2012.
- 27) Daly, A. K. et al.: *Gastroenterology*, **132**: 272-281, 2007.
- 28) Aithal, G. P. et al.: *Hepatology*, **39**: 1430-1440, 2004.
- 29) Watanabe, I. et al.: *Clin. Pharmacol. Ther.*, **73**: 435-455, 2003.
- 30) Xu, C. F. et al.: *Br. J. Cancer*, **102**: 1371-1377.
- 31) Bell, L. N. et al.: *Aliment. Pharmacol. Ther.*, **35**: 600-612, 2012.
- 32) Soga, T. et al.: *J. Hepatol.*, **55**: 896-905, 2011.

